Langbrennweitige Aufnahmen des Planeten Jupiter

Autor(en): **Küng, A.**

Objekttyp: **Article**

Zeitschrift: **Orion : Zeitschrift der Schweizerischen Astronomischen Gesellschaft**

Band (Jahr): **11 (1966)**

Heft 97

PDF erstellt am: **29.05.2024**

Persistenter Link: https://doi.org/10.5169/seals-900092

Nutzungsbedingungen

Die ETH-Bibliothek ist Anbieterin der digitalisierten Zeitschriften. Sie besitzt keine Urheberrechte an den Inhalten der Zeitschriften. Die Rechte liegen in der Regel bei den Herausgebern.
Die auf der Plattform e-periodica veröffentlichten Dokumente stehen für nicht-kommerzielle Zwecke in Lehre und Forschung sowie für die private Nutzung frei zur Verfügung. Einzelne Dateien oder Ausdrucke aus diesem Angebot können zusammen mit diesen Nutzungsbedingungen und den korrekten Herkunftsbezeichnungen weitergegeben werden.
Das Veröffentlichen von Bildern in Print- und Online-Publikationen ist nur mit vorheriger Genehmigung der Rechteinhaber erlaubt. Die systematische Speicherung von Teilen des elektronischen Angebots auf anderen Servern bedarf ebenfalls des schriftlichen Einverständnisses der Rechteinhaber.

Haftungsausschluss

Alle Angaben erfolgen ohne Gewähr für Vollständigkeit oder Richtigkeit. Es wird keine Haftung übernommen für Schäden durch die Verwendung von Informationen aus diesem Online-Angebot oder durch das Fehlen von Informationen. Dies gilt auch für Inhalte Dritter, die über dieses Angebot zugänglich sind.

Ein Dienst der *ETH-Bibliothek*
ETH Zürich, Rämistrasse 101, 8092 Zürich, Schweiz, www.library.ethz.ch

http://www.e-periodica.ch

Tableau 1: cotes d'intensité T
observateur: J. DRAGESCO

Nomenclat. UAI	T. (moy.)		Nomenclat. UAI	T. (moy.)							
Acidalium M.	7,0	(6)	*Isidis R.*	2,8	(1)	*Deltoton S.*	6,0	(1)	*Phlegra*	4,0	(2)
Aurorae S.	6,0	(8)	*Ismenius L.*	4,5	(4)	*Elysium*	1,7	(2)	*Phoenicis L.*	5,0	(2)
Boreosyrtis	5,5	(3)	*Lunae Palus*	4,6	(7)	*Erythraeum M.*	6,2	(4)	*Propontis*	5,7	(3)
Boreum M.	5,5	(1)	*Margaritifer S.*	6,4	(4)	*Eunostos*	4,0	(1)	*Sabaeus S.*	6,2	(2)
Casius	6,2	(2)	*Meridiani S.*	7,0	(6)	*Gehon*	4,0	(1)	*Serpentis M.*	6,7	(4)
Castorius L.			*Moeris L.*	5,5	(1)	*Hellas*	1,6	(2)	*Sirenum M.*	6,0	(8)
(150°, +45°)	5,5	(1)	*Nepenthes*	4,0	(1)	*Hellespontus*	1,6	(1)	*Sithonius L.*	6,5	(1)
Ceraunius	3,5	(1)	*Niliacus L.*	6,0	(4)	*Gordii Nodus*			*Solis L.*	5,0	(6)
Cerberus	4,2	(6)	*Nilokeras*	4,2	(2)	(150°, +7°)	4,0	(3)	*Syrtis M.*	7,2	(4)
Araxes	3,9	(4)	*Nilosyrtis*	5,0	(4)	*Autres rég. désert.*	2,5	(14)	*Thoth*	5,3	(3)
Ascraeus L.			*Oxus*	3,5	(3)	*Frange sombre N.*	5,5	(16)	*Tithonius L.*	4,9	(6)
(100°, +15°)	4,5	(6)	*Pandorae Fretum*	2,0!	(1)	*Calotte polaire N.*	0,5	(15)	*Trivium Charontis*	4,8	(3)
						Hesperia	3,0	(1)	*Tyrrhenum M.*	5,2	(2)
						Iapygia	6,5	(1)			

(entre parenthèses le nombre des observations).

Langbrennweitige Aufnahmen des Planeten Jupiter

von A. KÜNG, Allschwil

Diese Aufnahmen wurden mit einem Spiegelteleskop in Anordnung von NEWTON (Oeffnung 20.7 cm, Brennweite 148.0 cm) in *Okularprojektion* erhalten. Die Brennweiten f der Okulare betrugen 7.5, 10, 15 mm, so dass sich *effektive Brennweiten* F von 49, 37 und 22 Metern ergaben. Die Belichtungszeiten B des Ektachrome-Filmes lagen zwischen 2 und 12 Sekunden

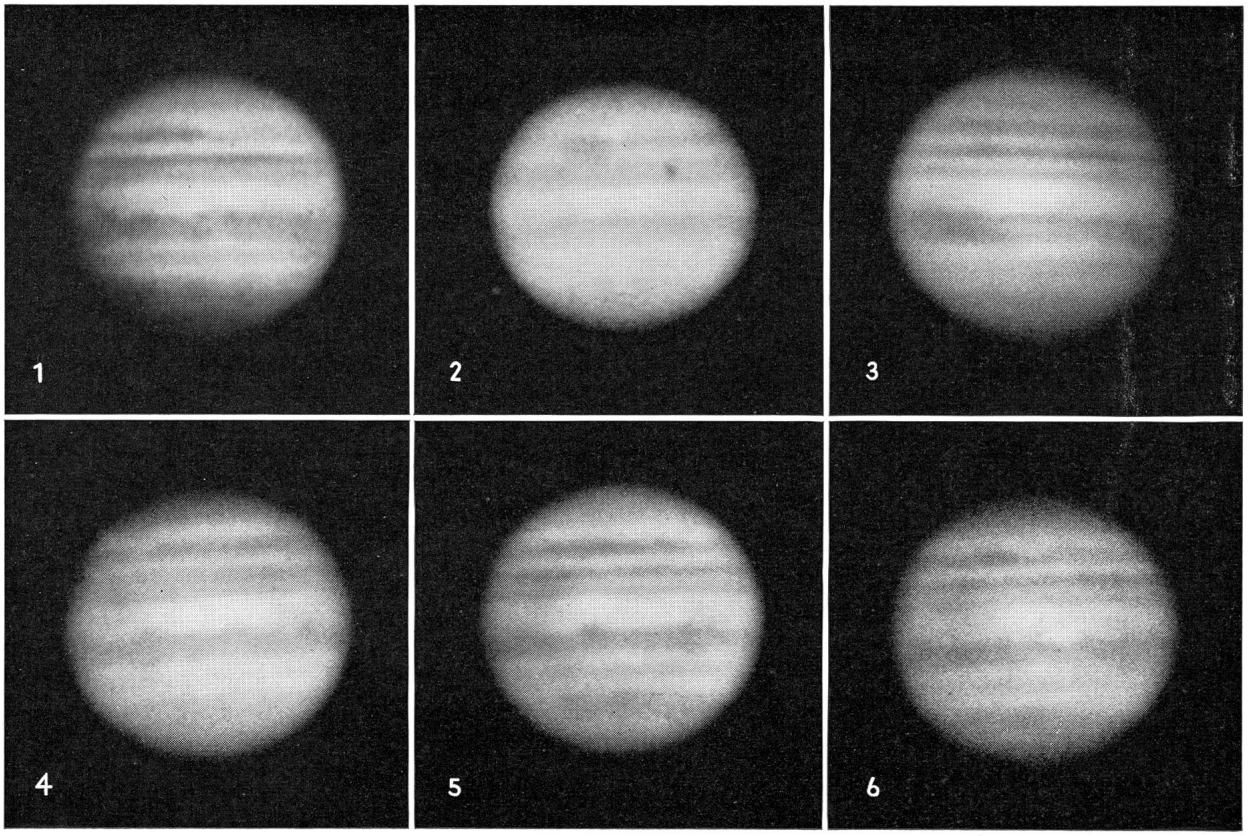

Bild 1: 28. 11. 1965, UT = $0^h\,34^m$, B = 2 sec, f = 15 mm, F = 22 m
Bild 2: 12. 2. 1966, $20^h\,37^m$, 2,5 sec, 15 mm, 22 m
rechts Schatten des Mondes I, links roter Fleck
Bild 3: 16. 3. 1966, $19^h\,57^m$, 10 sec, 7,5 mm, 49 m (![1])
Bild 4: 14. 12. 1965, $20^h\,58^m$, 12 sec, 10 mm, 37 m
Austritt des Mondes II aus dem Schatten
Bild 5, 14. 12. 1965, $22^h\,16^m$, 10 sec, 10 mm, 37 m
Bild 6: 23. 12 1965, $23^h\,26^m$. 10 sec, 10 mm, 37 m
[1]) Die Redaktion